# PERBANDINGAN PERFORMA ANTARA FASTER R-CNN DAN SINGLE SHOT DETECTOR DALAM DETEKSI AKTIVITAS MEROKOK DI LINGKUNGAN KAMPUS

#### LAPORAN TUGAS AKHIR

Proposal ini disusun untuk memenuhi salah satu syarat memperoleh gelar Sarjana Strata 1 (S1) pada Program Studi Teknik Informatika Fakultas Teknologi Industri Universitas Islam Sultan Agung Semarang



#### **DISUSUN OLEH:**

NAZLA ABAY DAUD ISTANTO NIM 32602100103

PROGRAM STUDI TEKNIK INFORMATIKA
FAKULTAS TEKNOLOGI INDUSTRI
UNIVERSITAS ISLAM SULTAN AGUNG
SEMARANG
2025

#### FINAL PROJECT

# PERFORMANCE COMPARISON BETWEEN FASTER R-CNN AND SINGLE SHOT DETECTOR IN SMOKING ACTIVITY DETECTION IN CAMPUS ENVIRONMENT

Proposed to complete the requirement to obtain a bachelor's degree (S-1) at Informatics Engineering Departement of Industrial Technology Faculty

Sultan Agung Islamic University



MAJORING OF INFORMATICS ENGINEERING
INDUSTRIAL TECHNOLOGY FACULTY
SULTAN AGUNG ISLAMIC UNIVERSITY
SEMARANG
2025

# LEMBAR PENGESAHAN TUGAS AKHIR

Perbandingan Performa Antara Faster R-CNN dan Single Shot Detector dalam Deteksi Aktivitas Merokok di lingkungan Kampus

# NAZLA ABAY DAUD ISTANTO NIM 32602100103

# TIM PENGUJI UJIAN SARJANA:

Dedy Kurniadi, S.T., M.Kom

NIK. 210615048 (Ketua Penguji)

Moch. Taufik, S.T., M.IT

NIK. 210604034 (Anggota Penguji)

Bagus SWP, S.Kom., M.Cs

NIK. 210616051 (Pembimbing)

(17-06-2020)

(16-06-2025)

(18-06-2025)

Semarang, 2 Juni 2025

Mengetahui,

Kaprodi Teknik Informatika Universitas Islam Sultan Agung

Moch. Taufik, S.T., M.IT

NIK. 210604034

# SURAT PERNYATAAN KEASLIAN TUGAS AKHIR

Yang bertanda tangan di bawah ini:

Nama

: Nazla Abay Daud Istanto

NIM

: 32602100103

Judul Tugas Akhir

: Perbandingan Performa Antara Faster R-CNN dan Single

Shot Detector dalam Deteksi Aktivitas Merokok di

lingkungan Kampus

Bahwa dengan ini saya menyatakan bahwa judul dan isi Tugas Akhir yang saya buat dalam rangka menyelesaikan Pendidikan Strata Satu (S1) Teknik Informatika tersebut adalah asli dan belum pernah diangkat, ditulis ataupun dipublikasikan oleh siapapun baik keseluruhan maupun sebagian, kecuali yang secara tertulis diacu dalam naskah ini dan disebutkan dalam daftar pustaka, dan apabila di kemudian hari ternyata terbukti bahwa judul Tugas Akhir tersebut pernah diangkat, ditulis ataupun dipublikasikan, maka saya bersedia dikenakan sanksi akademis. Demikian surat pernyataan ini saya buat dengan sadar dan penuh tanggung jawab.

Semarang, 20 Juni 2025

Yang menyatakan,

Nazla Abay Daud Istanto

#### PERNYATAAN PERSETUJUAN PUBLIKASI KARYA ILMIAH

Saya yang bertanda tangan di bawah ini:

Nama

: Nazla Abay Daud Istanto

NIM

: 32602100103

Program Studi

: Teknik Informatika

Fakultas

: Teknologi Industri

Alamat Asal

: Pati

Dengan ini menyatakan karya ilmiah berupa tugas akhir dengan judul :
Perbandingan Performa Antara Faster R-CNN dan Single Shot Detector dalam
Deteksi Aktivitas Merokok di lingkungan Kampus.

Menyetujui menjadi hak milik Universitas Islam Sultan Agung serta memberikan hak bebas royalti Non-Eksklusif untuk disimpan, dialihmediakan, dikelola dan pangkalan data dan dipublikasikan di internet dan media lain untuk kepentingan akademis selama tetap menyantumkan nama penulis sebagai pemilik hak cipta. Pernyataan ini saya buat dengan sungguh-sungguh. Apabila di kemudian hari terbukti ada pelanggaran Hak Cipta/Plagiarisme dalam karya ilmiah ini, maka segala bentuk tuntutan hukum yang timbul akan saya tanggung secara pribadi tanpa melibatkan Universitas Islam Sultan agung.

Semarang, 20 Juni 2025

Yang menyatakan,

METERAL TEMPEL ME4AMX3539749AZ

Nazla Abay Daud Istanto

#### KATA PENGANTAR

Dengan mengucap syukur alhamdulillah atas kehadirat ALLAH SWT yang telah memberikan rahmat dan karunia-Nya kepada penulis, sehingga dapat menyelesaikan Tugas Akhir dengan judul "Perbandingan Performa *Antara Faster R-CNN* dan *Single Shot Detector* dalam Deteksi Aktivitas Merokok di lingkungan Kampus" dengan baik.

Tugas akhir ini disusun dan dibuat dengan adanya bantuan dari berbagai pihak, berupa materi maupun teknis, oleh karena itu saya selaku penulis mengucapkan terima kasih kepada:

- 1. Rektor Universitas Islam Sultan Agung Bapak Prof. Dr. H. Gunarto, S.H., M.H yang mengizinkan penulis menimba ilmu di kampus ini.
- 2. Dekan Fakultas Teknologi Industri Ibu Dr. Ir. Hj. Novi Marlyana, S.T., M.T., IPU., ASEAN Eng.
- 3. Kaprodi Teknik Informatika Bapak Moch, Taufik, S.T., M.IT.
- 4. Dosen pembimbing penulis Bapak Bagus Satrio Waluyo Poetro, S.Kom., M.Cs yang telah meluangkan waktu dan memberi ilmu dalam penyusunan tugas akhir.
- 5. Orang tua penulis tercinta Bapak Joko Istanto dan Ibu Rina Fatkhiyah yang telah memberikan doa serta dorongan baik moral maupun material.
- 6. Saudara penulis Milka Khaidzar Tsani yang telah memberikan dukungan selama masa studi.
- 7. Seseorang spesial yang telah memberikan semangat kepada penulis dalam menyelesaikan tugas akhir.
- 8. Teman seperjuangan yang telah memberikan dukungan moral, motivasi, serta semangat dalam proses penyelesaian tugas akhir.
- 9. Dan kepada semua pihak yang tidak dapat disebutkan satu persatu.

Semarang, 20 Juni 2025

Penulis

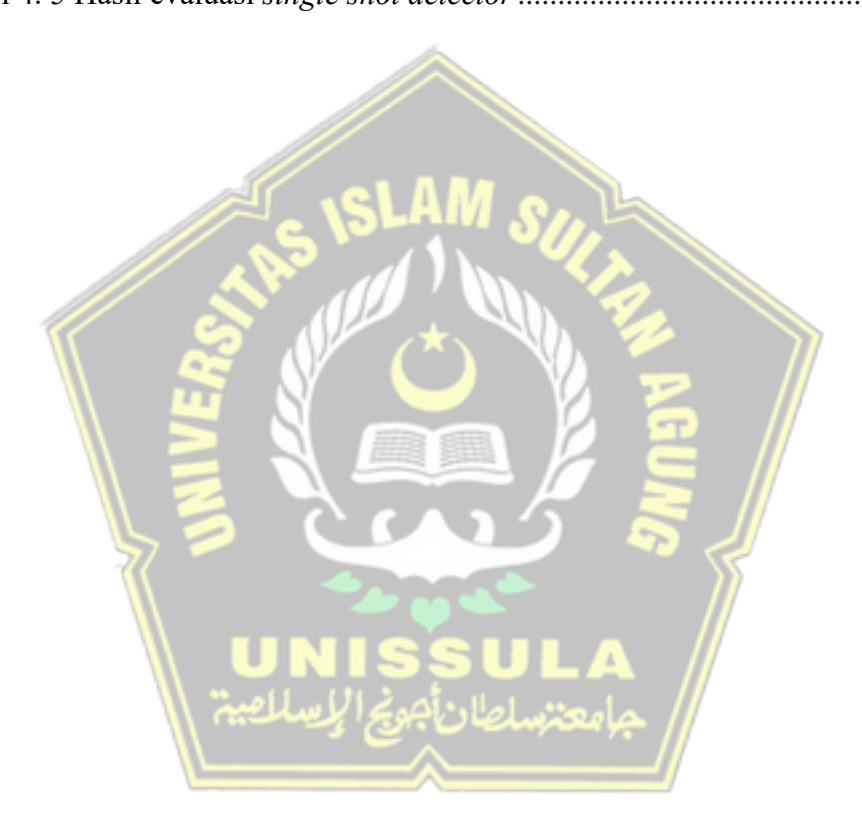
# **DAFTAR ISI**

LAPOF	RAN TUGAS AKHIR	i
LEMBA	AR PENGESAHAN TUGAS AKHIR	ii
SURAT	PERNYATAAN KEASLIAN TUGAS AKHIR	iii
PERNY	ATAAN PERSETUJUAN PUBLIKASI KARYA ILMIAH	iv
KATA I	PENGANTAR	V
DAFTA	AR ISI	vi
DAFTA	AR TABEL	viii
	AR GAMBAR	
ABSTR	PENDAHULUAN	x
BAB I I	PENDAHULUAN	1
1.1	Latar BelakangRumusan Masalah	1
1.2	Rumusan Masalah	3
1.3	Batasan Masalah	3
1.4	Tujuan Penelitian	3
1.5	Manfaat	3
1.6	Sistematika Penelitian	4
BAB II	TINJAUAN PUSTAKA DAN DASAR TEORI	
2.1	Tinjauan Pustaka	6
2.2	Dasar Teori	9
2.2	Dasar Teori	9
2.2	2.2 Computer Vision	9
2.2	.3 Object Detection	10
2.2	.4 Faster regional convolutional neural network	10
2.2	2.5 Regional Proposal Network	12
2.2	2.6 Single Shot Detector	13
BAB II	I METODE PENELITIAN	15
3.1	Studi Literatur	15
3.2	Pengumpulan Dataset	15
3.3	Arsitektur Model	16
3.3	1.1 Faster R-CNN	16

3.3	.2 Single Shot Detector	17
3.4	Analisa Kebutuhan Fungsional	18
3.5	Analisa Kebutuhan Non-Fungsional	18
3.6	Flowchart Metode	20
3.7	Alur Sistem	21
3.8	Evaluasi dan analisis	22
BAB IV	HASIL DAN ANALISIS PENELITIAN	23
4.1	Hasil	23
4.2	Analisa	29
BAB V	KESIMPULAN DAN SARAN	50
5.1	Kesimpulan	50
5.2	Saran	52
DAFTA	R PUSTAKA	53

# DAFTAR TABEL

Tabel 1. 1 Sistematika penulisan	
Tabel 4. 1 Hyperparameter	29
Tabel 4. 2 Hasil pengujian faster r-cnn	30
Tabel 4. 3 Hasil evaluasi faster r-cnn	38
Tabel 4. 4 Hasil pengujian single shot detector	40
Tabel 4 5 Hasil evaluasi single shot detector	4



# **DAFTAR GAMBAR**

Gambar 2. 1 Rokok	9
Gambar 2. 2 Arsitektur <i>faster r-cnn</i> (Charli dkk. 2020)	11
Gambar 2. 3 Arsitekstur SSD (Cheng dkk. 2022)	13
Gambar 3. 1 Alur penelitian	15
Gambar 3. 2 Dataset	16
Gambar 3. 3 Alur <i>flowchart</i> model	20
Gambar 3. 4 Alur sistem	21
Gambar 4. 1 <i>Folder</i> awal	23
Gambar 4. 2 Gambar dan <mark>anotas</mark> i dalam satu <i>folder</i>	23
Gambar 4. 3 <i>Folder</i> baru	24
Gambar 4. 4 Pemanggilan dataset dan <i>unzip</i>	24
Gambar 4. 5 Label mapping	
Gambar 4. 6 jumla <mark>h cl</mark> ass pada mo <mark>del</mark>	
Gambar 4. 7 source code <i>augmentasi</i>	25
Gambar 4. 8 Hasil <i>augmentasi</i>	25
Gambar 4. 9 Model <i>Faster Rcnn</i>	27
Gambar 4. 10 Model <i>SSD</i>	27
Gambar 4. 11 Grafik <i>lo<mark>ss training d</mark>an validation faster r-c</i> nn	27
Gambar 4. 12 Gra <mark>f</mark> ik <i>loss training <mark>d</mark>an validation single shot detector</i>	27
Gambar 4. 13 Tam <mark>pilan mendeteksi rokok dengan model </mark> faster r-cnn	28
Gambar 4. 14 Tampilan mendeteksi rokok dengan model <i>ssd</i>	28

#### **ABSTRAK**

Penerapan pengaturan kawasan tanpa rokok di lingkungan kampus menghadapi tantangan dalam hal pengawasan dan penegakan. Penelitian ini bertujuan untuk membandingkan performa dua algoritma deteksi objek berbasis deep learning, yaitu Faster R-CNN dan Single Shot Detector (SSD), dalam mendeteksi aktivitas merokok di area kampus Universitas Islam Sultan Agung (UNISSULA). Dataset yang digunakan terdiri dari 1935 gambar beranotasi aktivitas merokok yang diperoleh dari Roboflow, dengan pembagian data 85% pelatihan dan 15% validasi. Model dilatih menggunakan Google Colab dan diuji berdasarkan metrik evaluasi seperti accuracy, precision, recall, dan fl-score. Hasil mengetahui bahwa Faster R-CNN mempunyai performa yang lebih unggul dengan nilai evaluasi terbaik mencapai 100% pada threshold 0.5, sedangkan SSD menunjukkan performa yang lebih rendah dengan akurasi maksimal sebesar 42,5% pada threshold yang sama. Temuan ini menyimpulkan bahwa Faster R-CNN lebih cocok untuk digunakan dalam sistem pendeteksian aktivitas merokok di lingkungan kampus dibandingkan SSD, terutama dalam konteks akurasi dan konsistensi deteksi.

Kata Kunci: Deteksi Merokok, Faster R-CNN, Single Shot Detector, Computer Vision, Deep Learning, Kampus Bebas Rokok

#### ABSTRACT

The implementation of no-smoking policies in campus environments faces challenges in monitoring and enforcement. This study aims to compare the performance of two deep learning-based object detection algorithms—Faster R-CNN and Single Shot Detector (SSD)—in detecting smoking activities on the campus of Sultan Agung Islamic University (UNISSULA). The dataset used consists of 1,935 annotated images of smoking activities obtained from Roboflow, with an 85% training and 15% validation split. The models were trained using Google Colab and evaluated using metrics such as accuracy, precision, recall, and F1-score. The results showed that Faster R-CNN outperformed SSD, achieving perfect evaluation metrics (100%) at a threshold of 0.5, whereas SSD reached a maximum accuracy of 42.5% at the same threshold. These findings suggest that Faster R-CNN is more suitable for implementing an automatic smoking detection system on campus, especially in terms of accuracy and detection consistency.

Keywords: Smoking Detection, Faster R-CNN, Single Shot Detector, Computer Vision, Deep Learning, Smoke-Free Campus

#### BAB I

#### **PENDAHULUAN**

# 1.1 Latar Belakang

Kebijakan larangan merokok diterapkan di berbagai kampus untuk membuat lingkungan yang sehat dan nyaman bagi seluruh civitas akademik. Banyak tulisan reklame berisi larangan merokok, baik untuk mahasiswa, karyawan, dan juga dosen saat berada di lingkungan UNISSULA (Sudarto 2020) dan sesuai surat edaran Rektor Nomor: 930/YBW-SA/IX/2024 tentang larangan merokok (UNISSULA 2024). Namun, kebijakan ini sering kali menemui kendala dalam hal pengawasan dan penegakan aturan karena kurangnya pengawasan yang memadai, keterbatasan petugas keamanan, serta ketidaksadaran terhadap dampak negatif dari kebiasaan tersebut terhadap kesehatan dan lingkungan.

Merokok di tempat umum, khususnya di lingkungan kampus, dapat menyebabkan berbagai dampak buruk, mengingat asap rokok mengandung campuran daun tembakau kering yang dicacah dan dicampur dengan bahanbahan lain, seperti perekat dan senyawa kimia yang memiliki dampak buruk kesehatan perokok, termasuk perokok pasif yang tidak sengaja menghisap asap rokok (Ramadhani dkk. 2023). Selain itu, sampah puntung rokok yang dibuang sembarangan juga menambah masalah kebersihan di kampus.

Dengan laju perubahan teknologi yang semakin pesat dalam kehidupan masyarakat serta kemampuan komputasi komputer yang semakin tinggi. Salah satu area teknologi yang sedang naik daun saat ini adalah *machine learning* yang mana merupakan bagian dari ilmu kecerdasan buatan atau yang dikenal sebagai *artificial intelegent (AI)*. Salah satu cabang dari *AI* adalah *deep learning* (Ramadhanu dkk. 2023) dan dapat melakukan pembelajaran yang lebih mendalam sehingga menjadikan *deep learning* sebagai inti dari kemajuan *AI* serta memungkinkan untuk mendeteksi objek. Di bidang *deep learning*, menjadi populer dan metode ini tidak mengubah kualitas gambar tetapi mengubah dimensi. deteksi tambahan memakai *CNN* dengan metode

pembelajaran transfer. Keunggulan metode ini yaitu kemampuan untuk melakukan pra-pelatihan menggunakan informasi yang dipelajari dari model *CNN* yang telah dilatih (Poetro dkk. 2024). Penelitian terkait arsitektur *deep learning* untuk deteksi objek sangat penting untuk menghasilkan struktur yang dapat melakukan deteksi objek dengan lebih cepat.

Teknologi pengenalan objek berbasis deep learning telah menunjukkan kemajuan yang signifikan dalam berbagai bidang, termasuk deteksi aktivitas manusia. Dua arsitektur yang digunakan dalam deteksi objek adalah Faster R-CNN dan Single Shot Detector. Faster-RCNN merupakan suatu sistem untuk mendeteksi objek yang memiliki dua bagian. Bagian pertama yaitu Fast Region-based, sedangkan bagian yang kedua adalah Regional Convolutional Neural Network (Pardede dan Hardiansah 2022). Sementara itu, Algoritma SSD adalah salah satu cara yang sangat populer karena kemampuannya dalam menemukan objek secara langsung dengan tingkat ketelitian yang tinggi. SSD merupakan algoritma untuk mendeteksi objek yang mengandalkan pembelajaran mendalam, yang memungkinkan identifikasi objek dengan menggunakan ciri-ciri visual yang diambil dari gambar (Puspitasari dkk. 2025)

Meskipun kedua metode ini telah terbukti berhasil dalam berbagai deteksi, perbandingan performa mereka dalam konteks deteksi aktivitas merokok di lingkungan Unissula terbatas. Oleh karena itu, penelitian ini bertujuan guna membandingkan performa antara Faster R-CNN dan Single Shot Detector dalam mendeteksi aktivitas merokok, dengan harapan dapat menciptakan wawasan lebih baik mengenai metode yang lebih cocok untuk diterapkan untuk pengawasan kesehatan di lingkungan Unissula.

#### 1.2 Rumusan Masalah

- 1. Bagaimana performa algoritma *Faster R-CNN* dan *Single Shot Detector* (SSD) dalam mendeteksi aktivitas merokok di lingkungan kampus?
- 2. Algoritma mana yang lebih efektif dan akurat dalam mendeteksi aktivitas merokok?
- 3. Apa kelebihan dan kekurangan masing-masing algoritma dalam konteks implementasi sistem deteksi otomatis?

#### 1.3 Batasan Masalah

- 1. Deteksi hanya difokuskan pada aktivitas merokok yang terlihat jelas, seperti memegang atau mengisap rokok.
- 2. ingkup area penelitian terbatas pada zona larangan merokok di lingkungan kampus UNISSULA, seperti koridor, ruang terbuka, dan sekitar gedung akademik.
- 3. Pengujian dilakukan pada kondisi pencahayaan normal (siang hari) dan tidak mencakup malam hari atau kondisi minim cahaya.

# 1.4 Tujuan Penelitian

- 1. Membangun dan menguji model deteksi aktivitas merokok menggunakan algoritma *Faster R-CNN* dan *SSD*.
- 2. Membandingkan performa kedua algoritma berdasarkan metrik evaluasi seperti *accuracy*, *precision*, *recall*, dan *f1-score*.
- 3. Menentukan algoritma yang paling sesuai untuk mendukung pengawasan kawasan bebas rokok di kampus.

#### 1.5 Manfaat

- 1. Penelitian ini memperlihatkan urgensi penerapan teknologi AI dan *computer vision* sebagai sarana pendukung kebijakan institusi, khususnya dalam penegakan aturan di lingkungan kampus.
- 2. Temuan dari penelitian ini berpotensi menjadi solusi inovatif yang dapat dimanfaatkan oleh institusi kampus untuk meningkatkan efektivitas

- pengawasan terhadap pelanggaran aturan. Menjadi inovasi yang bisa digunakan oleh pihak kampus dalam menegakkan aturan.
- 3. Hasil penelitian ini dapat menjadi rujukan baru dalam pengembangan literatur di bidang *computer vision*, khususnya terkait model deteksi perilaku manusia seperti aktivitas merokok menggunakan pendekatan *Faster R-CNN* dan *Single Shot Detector*.
- 4. Memberikan evaluasi performa dua metode deteksi objek yang populer sebagai acuan untuk memilih pendekatan paling efektif dalam konteks pemantauan aktivitas merokok di lingkungan kampus.
- 5. Mendorong upaya mewujudkan kawasan kampus yang lebih bersih, sehat, dan terbebas dari paparan asap rokok melalui pemanfaatan teknologi deteksi otomatis.

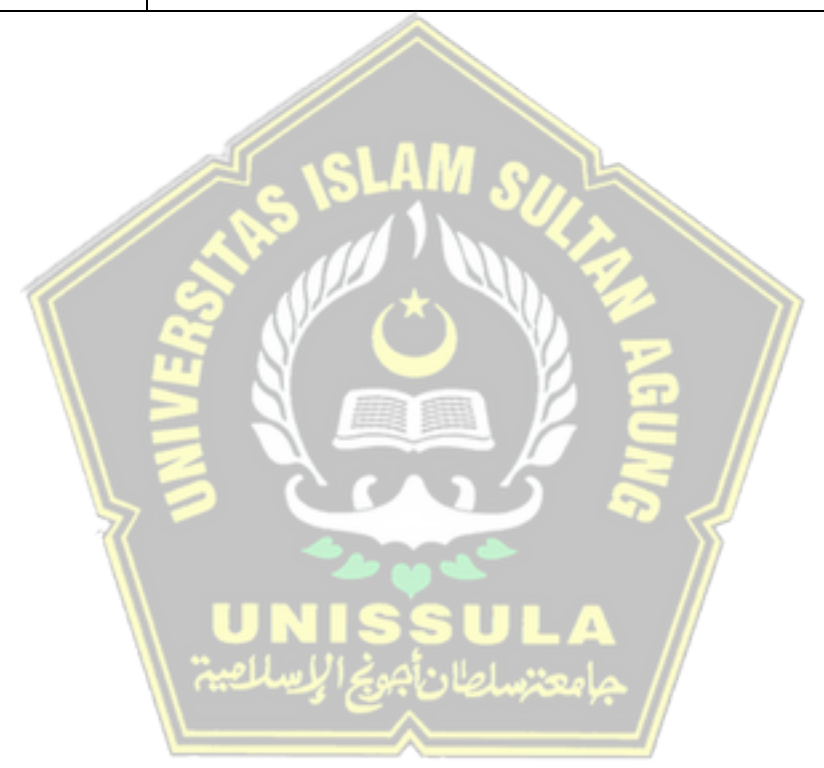
# 1.6 Sistematika Penelitian

Sistematika penulisan yang digunakan oleh penulis dalam sebuah pembuatan laporan tugas akhir adalah sebagai berikut:

Tabel 1. 1 Sistematika penulisan

BAB I	PENDAHULUAN
//	Bagian bab berisi latar belakang penggunaan judul, rumusan
V	masalah, batasan masalah, tujuan penelitian, manfaat, serta
1	sistematika penulisan.
BAB II	TINJAUAN PUSTAKA DAN DASAR TEORI
	Bagian bab memuat penelitian-penelitian sebelumnya dan
	dasar teori untuk membantu penulis memahami bagaimana
	teori yang berhubungan dengan Single Shot Detector dan
	pengimplementasian menggunakan webcam.
BAB III	METODE PENELITIAN
	Bagian bab mengungkapkan proses tahapan-tahapan penelitian
	dimulai dari mendapatkan data hingga proses pengolahan data
	yang ada.

BAB IV	HASIL DAN ANALISIS PENELITIAN
	Bagian Bab penulis mengungkapkan hasil penelitian seperti
	pengumpulan data, pengolahan data, pengujian model deteksi
	aktivitas merokok, dan juga perhitungan akurasi dari evaluasi
	model yang diterapkan
BAB V	KESIMPULAN DAN SARAN
	Bagian bab penulis memaparkan kesimpulan proses penelitian
	dari awal hingga akhir serta saran untuk penelitian selanjutnya.



#### **BAB II**

#### TINJAUAN PUSTAKA DAN DASAR TEORI

# 2.1 Tinjauan Pustaka

Pada penelitian terdahulu sistem dibangun menggunakan metode *Faster R-CNN* Untuk menentukan posisi objek kereta, baik lokomotif maupun gerbong, menurut intensitas cahaya dan jarak ke objek tersebut. Sistem ini mencapai tingkat keakuratan dalam mendeteksi objek, dengan rata-rata *accuracy* deteksi untuk lokomotif 86,40%, dan *accuracy* deteksi untuk gerbong mencapai 97,23% (Pardede dan Hardiansah 2022).

Pada penelitian sebelumnya meneliti *accuracy* menggunakan model *Faster R-CNN* yang dilatih untuk mendeteksi senjata genggam kelas pisau. Hasil dari proses pengembangan model *Faster R-CNN* ini adalah model berhasil mendeteksi senjata genggam kelas pisau dengan *accuracy* sebanyak 87%, hasil akurasi diperoleh dari pengujian 475 gambar digital yang dilakukan di *Google Colab* (Pradana dkk. 2022).

Pada penelitian sebelumnya Pembuatan sistem untuk mendeteksi objek ini melibatkan proses pelatihan yang bertujuan untuk mengembangkan model Faster R-CNN. Berdasarkan hasil dari penerapan pengujian, dapat disimpulkan bahwa sistem ini mengidentifikasi jenis hewan pemakan daging dan pemakan tumbuhan, dengan total model *loss* selama pelatihan mencapai 0.06 dan tingkat akurasi sebesar 89%. Hasil analisis Recall dan Precision diketahui bahwa kinerja dari sistem klasifikasi yang dibuat sangat memuaskan, dengan Recall 100% diperoleh pada kelompok gambar hewan seperti Cheetah, Eagle, Komodo, Shark, Tiger, Bull, Guineapig, dan Zebra (Putri dan Fahrurozi 2022).

Pada penelitian sebelunya Sistem ini memakai permodelan *Faster Regional Convolutional Neural Network* yang dibuat pada *Tensorflow* dengan membuatnya di mini komputer atau Raspberry Pi 4B. Hasil akurasi pada sistem ini sebesar 0.9025 atau sebesar 90.25% dengan waktu

komputasi didalam *Raspberry Pi 4B* sebesar 7.638 detik per gambar (Audina dkk. 2021).

Pada penelitian sebelunya Faster R-CNN merupakan pengembangan Jaringan Syaraf Konvolusional (CNN). Metode ini masih dalam proses pengembangan dan digunakan untuk mengenali objek atau pengenalan objek. Penelitian ini memanfaatkan kumpulan data burung lovebird dengan 808 gambar dan 8 jenis yaitu Agapornis Personata, Agapornis Fischeri, Agapornis Lilianae, Agapornis Nigrigenis, Agapornis Roseicollis, Agapornis Taranta, Agapornis Pullarius, Agapornis Canus. Hasil proses pembelajaran, diperoleh akurasi sebesar 96% dan kehilangan sebesar 0,2% (Charli dkk. 2020).

Pada penelitian sebelumnya Dalam studi ini, kami menerapkan metode *Single Shot Multibox Detector* yang terkenal untuk mengidentifikasi objek yang bergerak di dalam Aplikasi *Jupyter Notebook*. Data yang digunakan dalam penelitian ini bersifat publik dan diperoleh dari sumber dataset di situs *web Kaggle*, yang memiliki beragam jumlah gambar. Ada tujuh kategori merek mobil yang diteliti, yaitu Volkswagen, Hyundai, Lexus, Mercedes, Peugeot, Renault, dan Tesla. Untuk pengujian dalam penelitian ini, tersedia 1.240 gambar pada kategori data latih dan 270 gambar pada kategori data uji, di mana pengujian telah dilakukan dan menghasilkan angka evaluasi dengan tingkat akurasi terbaik sebesar 98.89% dan nilai loss sebesar 0.025%. (Zikri dkk. 2022).

Pada penelitian sebelumnya Sistem ini menerapkan metode *Single Shot Multibox Detector (SSD)*, Metode ini digunakan untuk mendeteksi gerakan huruf dalam Sistem Isyarat Bahasa Indonesia (SIBI) secara langsung. Cara kerjanya memanfaatkan kamera di laptop untuk menangkap pergerakan dan menampilkan hasilnya di situs web. Model yang diterapkan berhasil diuji dengan mengubah pengaturan hyperparameter. Hasil tes dengan nilai terbaik diperoleh dari dataset dengan rasio 90%:10%, *lr* 0,04, epoch 300, ukuran batch 4, dan 40000 step, dengan tingkat akurasi

mencapai 100%, hasil mAP@.50IoU sebesar 100%, dan hasil AR@100 mencapai 91,79% (Apendi dkk. 2023).

Pada penelitian sebelumnya sebuah sistem pengenalan sapi menggunakan gambar dan video dari *UAV* dengan metode *SSD* (*Single Shot Detector*) bertujuan untuk mendukung peternakan dalam memantau hewan ternak, terutama sapi. Hasil yang diperoleh menunjukkan bahwa sistem ini mampu mengenali objek dengan menandai menggunakan bounding box dan memberikan label sapi. Selain itu, tingkat akurasi tertinggi dalam deteksi objek tercatat saat drone terbang pada ketinggian 5 meter, yaitu 94.45% untuk keadaan diam dan 100% saat bergerak (Fikri dan Setianingsih 2023).

Pada penelitian sebelumnya Proses ekstraksi fitur dilakukan dengan deep learning menggunakan library tensorflow dan pengolahan citra dengan metode Single Shot MultiBox Detector (SSD). Pengujian dilakukan terhadap objek manusia, hewan (kucing), dan benda (kursi dan meja) untuk kondisi dalam dan luar ruangan dan didapatkan nilai akurasi sebesar 92%, sensitifitas 83%, dan spesifisitas 100% (Anggraeni dkk. 2020).

Pada penelitian sebelumnya Penelitian ini menunjukkan bahwa model *SSD MobileNet* dapat digunakan untuk mengenali berbagai jenis makanan, khususnya untuk kategori yang memiliki *mAP* tinggi. Model ini secara keseluruhan memiliki *mAP* sebesar 77.20%, yang menunjukkan kinerja yang baik dalam mengidentifikasi makanan. Beberapa kategori seperti kentang goreng, nasi goreng, dan tumis kangkung berhasil mencapai 100% *mAP*, yang berarti tingkat akurasi sangat tinggi. Namun, ada beberapa kategori seperti kerupuk putih (30%), tempe goreng (33%), dan terong balado (20%) yang menunjukkan hasil yang kurang memuaskan, menunjukkan kesulitan model dalam mengenali objek-objek tersebut (Puspitasari dan Pangaribuan 2025).

#### 2.2 Dasar Teori

#### **2.2.1** Rokok

Rokok merupakan salah satu produk dari tembakau yang dimaksudkan untuk dibakar, dihisap dan/atau dihirup termasuk didalamnya adalah rokok kretek, rokok putih, cerutu atau pun bentuk lainnya yang dihasilkan dari tanaman nicotiana tabacum, nicotiana rustica dan spesies lainnya atau sintesis yang asapnya mengandung nikotin dan tar, dengan atau tanpa bahan tambahan (Rosmiati dkk. 2022).



Gambar 2. 1 Rokok

Kawasan-kawasan bebas rokok meliputi tempat untuk belajar dan mengajar yang dikenal sebagai kampus. Kampus adalah lokasi di mana sebuah perguruan tinggi atau Universitas. Umumnya, kampus mencakup perpustakaan, ruang kuliah, asrama, dan taman sebagai bagian dari tata letaknya. Penjelasan ini mencerminkan kumpulan bangunan yang dimiliki oleh lembaga tersebut, baik yang bersifat akademik maupun non-akademik. Kampus adalah area yang dilarang merokok karena khawatir aktivitas merokok dapat mengganggu proses belajar mengajar. Oleh karena itu, dalam upaya penertiban, pemerintah mengeluarkan peraturan mengenai kawasan tanpa rokok (Juweha 2019).

#### 2.2.2 Computer Vision

Computer Vision merupakan bidang ilmu komputer yang memberi mesin kemampuan untuk melihat dan memahami gambar serta video. Dengan menggunakan algoritma canggih, komputer dapat mengidentifikasi wajah, objek, dan bahkan memahami adegan rumit layaknya manusia. Penggunaan

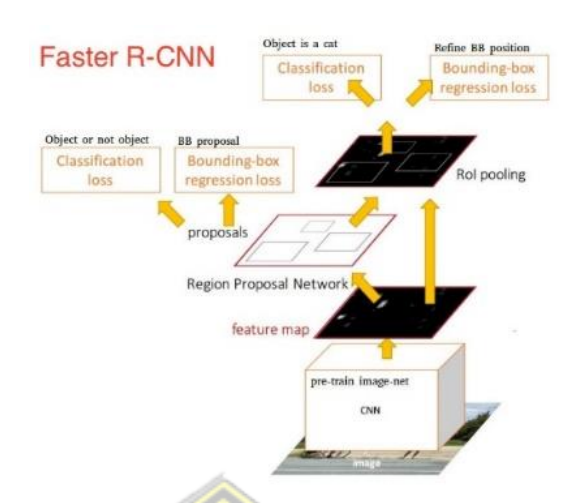
computer vision sangat beragam, mencakup keamanan, otomotif, medis, dan lingkungan. Secara ringkas, *computer vision* memungkinkan mesin untuk mendapatkan informasi penting dari dunia visual dan bertindak berdasarkan pemahaman tersebut (Sutisna dkk. 2024).

# 2.2.3 Object Detection

Deteksi objek atau Object Detection adalah aspek dari Penglihatan Komputer. Deteksi objek merujuk pada kemampuan perangkat komputer untuk mengenali berbagai objek dalam sebuah gambar. Proses ini melibatkan pengambilan fitur gambar seperti garis, sudut, kontur, dan warna dari suatu gambar. Deteksi objek juga merupakan bagian dari Pengenalan Objek atau Object Recognition. Jadi, bisa disimpulkan bahwa untuk melakukan deteksi objek, objek tersebut harus terlebih dahulu diidentifikasi. Dalam penelitian ini, akan dilakukan deteksi objek dan selanjutnya diterapkan untuk mengukur jarak serta menghitung jumlah objek (Indaryanto dkk. 2021).

# 2.2.4 Faster regional convolutional neural network

Faster regional convolutional neural network atau Faster R-CNN adalah sebuah metode yang memanfaatkan convolutional neural network. Faster R-CNN berfungsi sebagai sebuah teknik untuk mendeteksi objek yang terpantau oleh kamera, yang kemudian akan disimpan dalam database atau tidak, sehingga komputer dapat membuat kesimpulan tentang objek yang telah kita lacak. Terdiri atas lima komponen utama yang meliputi jaringan konvolusional, RPN, Lapisan ROI Pooling, serta Lapisan full coneected, box bounding, dan pengklasifikasi. Lewat jaringan usulan wilayah dan jaringan konvolusional dalam yang sepenuhnya, banyak objek diusulkan untuk menjadi proposisi dan kemudian dinormalisasi melalui Lapisan ROI Pooling. Selanjutnya, Lapisan Terkoneksi Penuh mengambil fitur-fitur relevan guna melakukan proses clasification dan regretion (Pardede dan Hardiansah 2022).



Gambar 2. 2 Arsitektur *faster r-cnn* (Charli dkk. 2020)

Faster-RCNN merupakan suatu sistem yang digunakan untuk identifikasi objek yang terdiri dari dua elemen utama. Elemen pertama adalah Jaringan Saraf Convolusional Regional, sementara elemen kedua adalah Jaringan Saraf Konvolusional Regional Fast yang detektor memanfaatkan wilayah yang diajukan. Faster-RCNN terbentuk dari lima komponen inti, jaringan konvolusional, RPN, Lapisan ROI Pooling, serta Lapisan full coneected, box bounding, dan pengklasifikasi. Melalui lapisan konvolusi dan lapisan terhubung penuh, berbagai objek diusulkan sebagai saran, kemudian dinormalisasi dengan lapisan ROI Pooling. Selanjutnya, lapisan terhubung penuh mengambil fitur-fitur yang relevan untuk klasifikasi. Kebanyakan usulan tidak selalu sesuai dengan objek yang dituju, dan sistem berupaya mencari yang paling tepat. Akan tetapi, klasifikasi dilakukan berdasarkan saran itu sendiri, bukannya hanya berdasarkan yang paling tepat. Dalam aplikasinya di dunia nyata, ukuran objek bervariasi: seperti motor, hewan, dan plat. Ketika objek yang diincar berbeda, saran yang untuk ukuran besar dapat mencakup objek baik yang kecil maupun yang besar. Dalam keadaan ini, klasifikasi harus menghadapi tidak hanya variasi di dalam area objek, tetapi juga variasi di sekitar objek. Ini menjadi tidak efisien untuk klasifikasi dan kotak berbatas, serta dapat menghasilkan banyak hasil positif palsu dan negatif palsu saat menguji model (Pardede dan Hardiansah 2022).

# 2.2.5 Regional Proposal Network

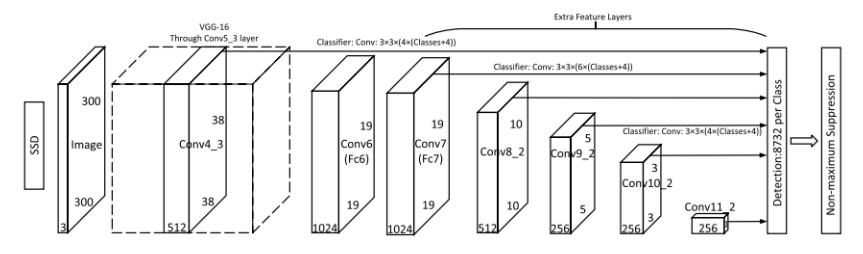
RPN digunakan untuk menghasilkan saran berdasarkan fitur yang ada. Peta fitur berukuran 512 diambil jaringan convolutional dasar menerima semua gambar menjadi input. Peta fitur yang didapat akan digunakan sebagai jendela geser berukuran 3x3, dengan setiap jendela yang digeser dipetakan menjadi vektor fitur berukuran 512. Vektor fitur itu kemudian di input-kan ke dua lapisan terhubung yaitu full layer, diikuti oleh lapisan regresi kotak dan deteksi kotak. pada konsep ini, prinsip Anchor diperkenalkan. anchor fokus ke jendela geser 3x3, di mana setiap jendela yang digeser mempunyai sembilan anchor dengan campuran tiga skala [128 2, 256 2, 512 2] dan tiga rasio aspek [1:1, 1:2, 2:1]. Lapisan klasifikasi kotak menentukan apakah anchor positif atau negatif, sedangkan lapisan regresi menghasilkan koordinat untuk pembatas. Untuk training RPN, fungsi kerugian dijabarkan seoerti berikut.

$$L = \frac{l}{Nds} \sum Lds(p, p * + \lambda \frac{l}{Nreg}) \sum p * Lreg(t, t *)$$
 (1)

Dimana indeks dari Anchor dalam mini batch,

- p adalah proposal objek,
- p \* adalah label dari proposal (ketika proposal adalah objek, p \* = 1, jika tidak p \* = 0),
- t dan t \* adalah koordinat dari bounding box regression dan ground-truth masing-masing,
- N cls dan N reg adalah parameter normalisasi,
- L cls adalah kerugian deteksi, itu adalah kerugian log selama dua kelas,
- *L reg* adalah defisit regresi, istilah p \* L reg berarti regresi dihidupkan guna untuk *anchor* positif (Pardede dan Hardiansah 2022).

# 2.2.6 Single Shot Detector



Gambar 2. 3 Arsitekstur SSD (Cheng dkk. 2022)

Single Shot Detector (SSD) adalah metode deteksi objek yang menggunakan pendekatan single deep neural network untuk mengenali objek dalam sebuah gambar secara *real-time*. SSD bekerja dengan memanfaatkan kotak pembatas (bounding box), fitur multi-skala, dan kotak default untuk meningkatkan akurasi dan kecepatan deteksi, bahkan dengan resolusi gambar rendah. Algoritma ini dikembangkan untuk menjadi alternatif yang lebih cepat dibanding Faster R-CNN dengan akurasi yang sebanding. Arsitektur SSD didasarkan pada Convolutional Neural Network (CNN), khususnya VGG16 sebagai backbone. VGG16 dipilih karena performanya yang baik dalam klasifikasi gambar serta mendukung transfer learning. Dalam SSD, VGG16 dihubungkan dengan beberapa lapisan konvolusi tambahan yang bertugas mengekstrak fitur dari berbagai skala secara bertahap, yang memungkinkan deteksi objek pada ukuran yang berbeda-beda. Dalam penelitian ini digunakan varian SSD MobileNetV2 FPNLite, di mana backbone VGG16 digantikan oleh MobileNetV2, yang lebih ringan dan hemat daya, cocok untuk perangkat dengan sumber daya terbatas. MobileNetV2 memanfaatkan depthwise dan pointwise convolution serta fitur linear bottleneck dan shortcut connection untuk mempercepat pelatihan dan meningkatkan akurasi. Selain itu, ditambahkan komponen Feature Pyramid Network (FPN) untuk mendukung deteksi objek pada berbagai skala. FPN menggabungkan fitur dari berbagai tingkat lapisan konvolusi, membentuk struktur piramida yang menghasilkan peta fitur multi-skala berkualitas tinggi. Gabungan MobileNetV2 dan FPN menjadikan SSD MobileNetV2 FPNLite sebagai arsitektur yang efisien namun tetap akurat dalam mendeteksi objek (Fikri dan Setianingsih 2023).

Berikut rumus loss function pada ssd:

$$L = (x, c, l, g) = \frac{1}{N} (Lconf(x, c) + \alpha Lloc(x, l, g))$$
 (2)

# Keterangan:

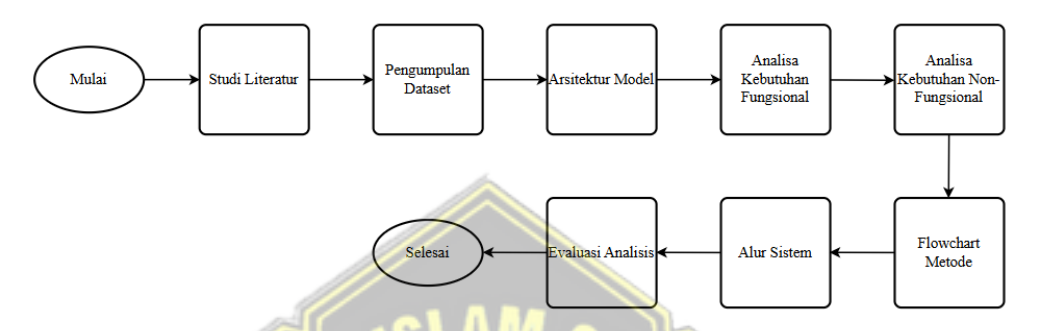
- L = Total loss
- *Lconf = confidence loss* (biasanya *softmax loss*)
- Lloc = localization loss (biasanya smooth L1 loss)
- x = indikator matching antara default box dan ground truth box
- c = kelas prediksi
- *l* = Prediksi lokasi
- g = ground truth bounding box
- N = jumlah positive matches (jumlah default box yang cocok dengan ground truth)
- a = bobot pengali untuk balance antara confidence loss dan localization loss (biasanya a = 1)



#### **BAB III**

#### METODE PENELITIAN

Untuk metode penelitian yang akan dipakai dalam penelitian, adalah sebagai berikut :



Gambar 3. 1 Alur penelitian

Pada gambar 3.1 memperlihatkan alur dari penelitian yang dilakukan pada saat penelitian, mulai dari studi literatur, pengumpulan *dataset*, arsitektur model, analisa kebutuhan fungsional, analisa kebutuhan non-fungsional, *flowchart* metode, alur sistem, dan evaluasi analisis.

#### 3.1 Studi Literatur

Peneliti mengumpulkan beberapa *e-book*, artikel, jurnal, skripsi dan tesis hasil penelitian yang dilakukan oleh peneliti sebelumnya, dan beberapa laman di internet sebagai media untuk peneliti mempelajari terkait *Machine Learning*, *Deep Learning*, *Computer vision*, *Object detection*, *Faster R-CNN*, dan *Single Shot Detector* untuk membantu peneliti menyelesaikan penelitian.

#### 3.2 Pengumpulan Dataset

Dataset yang digunakan dalam penelitian ini didapat dari sumber Roboflow dengan jenis data Pascal VOC (Visual Object Classes) sejumlah 1935 data. Informasi yang terdapat pada gambar berupa anotasi, label, dan ukuran, dalam dataset ini disimpan dalam file xml. Dataset akan diproses untuk digunakan dalam tahapan training dan validation dengan perbandingan jumlah gambar training 85:15 validation.



Gambar 3. 2 Dataset

Pada gambar 3.2 merupakan contoh dari gambar yang ada di dalam dataset yang akan digunakan. Setelah diperoleh, dataset akan dilakukan preprocessing data untuk menyesuaikan gambar yang dibutuhkan dalam pembuatan model deteksi ini.

# 3.3 Arsitektur Model

#### 3.3.1 Faster R-CNN

Pada tahapan model Faster R-CNN, gambar pertama-tama akan diproses oleh convolutional neural network (CNN). CNN akan mencari polapola atau fitur seperti tepi, sudut, tekstur, atau bentuk di dalam dataset. CNN akan menghasilkan sebuah "peta fitur" (feature map), yang bisa dianggap sebagai gambaran kasar dari gambar, namun dengan informasi yang lebih fokus pada objek yang ada di dalamnya. Setelah gambar diubah menjadi peta fitur, ada bagian penting lain yang disebut Region Proposal Network (RPN). Fungsi *RPN* adalah untuk mencari kemungkinan lokasi objek dalam gambar. Artinya, RPN akan mencoba untuk menemukan area-area di dalam gambar yang berpotensi berisi objek rokok. RPN bekerja dengan cara membuat banyak bounding box (kotak pembatas) di seluruh gambar dan menilai mana yang paling mungkin berisi objek yang ingin dideteksi. Setelah RPN menentukan beberapa area yang mungkin berisi objek, langkah berikutnya adalah RoI Pooling. Di bagian ini, gambar yang telah diproses oleh RPN akan dipotong-potong sesuai dengan area yang dianggap penting. RoI Pooling mengambil potongan-potongan gambar ini dan mengubahnya menjadi ukuran yang sama (misalnya 7x7 piksel). Dengan cara ini, model bisa memproses setiap area (potongan gambar) yang berisi objek dengan cara yang sama, sehingga model bisa lebih efisien dalam membuat prediksi. Pada tahap terakhir, *Faster R-CNN* menggunakan dua Langkah yaitu *Klasifikasi* dan *Regresi. Klasifikasi*, model akan menentukan apakah setiap area (potongan gambar) yang diambil oleh *RPN* berisi objek rokok atau tidak. Ini adalah bagian dari proses pengenalan objek. *Regresi*, selain mendeteksi objek, model juga akan memperbaiki lokasi objek dalam gambar. Ini dilakukan dengan menghitung ulang posisi dan ukuran *bounding box* untuk mendapatkan prediksi lokasi objek yang lebih akurat.

# 3.3.2 Single Shot Detector

SSD (Single Shot MultiBox Detector) adalah algoritma deteksi objek yang dirancang untuk mendeteksi berbagai objek dalam gambar secara cepat dan efisien dalam satu proses langsung, tanpa memerlukan tahap proposal region seperti pada R-CNN. Proses deteksi dimulai dengan backbone berbasis convolutional neural network (CNN), seperti VGG-16 atau ResNet, yang bertugas mengekstraksi fitur-fitur penting dari gambar, seperti tepi, pola, tekstur, dan bentuk objek. Hasil ekstraksi ini berupa feature map yang merepresentasikan informasi visual dari berbagai tingkatan. SSD kemudian memanfaatkan beberapa *layer* konvolusional tambahan yang secara bertahap mengecilkan resolusi feature map, sehingga memungkinkan deteksi objek pada berbagai skala. Hal ini menjadikan SSD mampu mendeteksi objek besar di *layer* awal dan objek kecil di *layer* yang lebih dalam. Pada setiap *layer*, SSD memprediksi sejumlah default boxes (anchor box) dengan berbagai ukuran dan rasio aspek. Setiap kotak default digunakan untuk memprediksi keberadaan objek beserta kelasnya melalui dua tugas utama, yaitu klasifikasi dan regresi. Klasifikasi bertugas menentukan jenis objek seperti rokok atau bukan, sedangkan regresi bertugas memprediksi lokasi dan ukuran bounding box yang akurat. SSD membagi gambar menjadi grid dan melakukan prediksi di setiap *grid* berdasarkan kotak *default* yang sesuai. Keunggulan utama SSD adalah efisiensinya dalam melakukan deteksi dalam satu tahap, dengan tetap

mempertahankan akurasi yang kompetitif. *Output* akhir dari *SSD* mencakup koordinat bounding box, label kelas objek, dan *confidence score* sebagai indikator keyakinan model terhadap prediksi.

# 3.4 Analisa Kebutuhan Fungsional

Dalam penelitian ini, kebutuhan fungsional sistem disusun berdasarkan tahapan metode CRISP-DM, yang merupakan kerangka kerja standar untuk pengembangan sistem berbasis data mining dan pembelajaran mesin. Sistem yang dibangun ditujukan untuk mendeteksi aktivitas merokok secara otomatis dengan akurasi tinggi, sebagai bagian dari dukungan terhadap penerapan kebijakan kawasan tanpa rokok di lingkungan kampus. Pada tahap business understanding, sistem dirancang agar mampu menjawab kebutuhan institusi kampus dalam mendeteksi pelanggaran terhadap aturan larangan merokok. Sistem ini harus mampu menghasilkan keluaran yang dapat digunakan sebagai alat bantu pengawasan dan evaluasi kebijakan. Tahap data understanding menuntut sistem untuk dapat mengimpor dan membaca dataset dari sumber eksternal, dalam hal ini Roboflow, serta memahami struktur data seperti jumlah gambar, format anotasi, dan label yang digunakan. Pemahaman data ini penting agar proses pelatihan model dapat berjalan secara optimal. Selanjutnya, dalam tahap data preparation, sistem perlu mampu melakukan berbagai proses pra-pemrosesan data. Hal ini mencakup augmentasi gambar untuk memperkaya variasi data, pemetaan ulang label untuk menyederhanakan klasifikasi menjadi dua kelas (merokok dan tidak merokok), serta pembagian dataset ke dalam data latih dan validasi dengan proporsi yang tepat. Selain itu, sistem harus mampu memastikan bahwa seluruh dataset memiliki struktur folder dan format file yang sesuai dengan kebutuhan model, seperti format Pascal VOC (.xml).Pada tahap *modeling*, sistem harus memiliki kemampuan untuk membangun dan melatih dua model deteksi objek berbasis deep learning, yaitu Faster R-CNN dan Single Shot Detector (SSD). Sistem ini juga harus menyediakan pengaturan parameter pelatihan seperti nilai batch size, learning rate, jumlah epoch, serta jenis optimizer yang digunakan. Selama proses pelatihan, sistem perlu

menampilkan grafik *loss* untuk menunjukkan proses belajar model dari waktu ke waktu. Tahap evaluation menuntut agar sistem dapat menghitung metrik evaluasi seperti accuracy, precision, recall, dan f1-score secara otomatis setelah model diuji. Selain itu, sistem harus mampu menampilkan hasil evaluasi tersebut dalam bentuk tabel serta grafik perbandingan performa kedua model. Output visual berupa gambar deteksi yang dilengkapi bounding box, label klasifikasi, dan confidence score juga menjadi bagian dari kebutuhan fungsional untuk memvalidasi keberhasilan model secara visual. Meskipun tahap *deployment* belum menjadi fokus utama dalam penelitian ini, sistem telah dirancang agar hasil model dapat disimpan dalam format yang mendukung penerapan lebih lanjut, seperti file model berformat .pth. Hal ini memungkinkan sistem untuk diintegrasikan ke dalam sistem pemantauan video real-time di masa mendatang sebagai pengembangan lanjutan. Dengan demikian, seluruh kebutuhan fungsional dalam penelitian ini disesuaikan untuk mendukung proses pengolahan data, pelatihan model, evaluasi performa, serta potensi implementasi sistem deteksi aktivitas merokok berbasis deep learning secara komprehensif dan terstruktur.

# 3.5 Analisa Kebutuhan Non-Fungsional

Pada tahap ini kebutuhan non fungsional adalah kebutuhan yang dimiliki setiap sistem yang membatasi pengembangan ataupun standarisasi sistem yang akan dibuat. Kebutuhan tersebut terdiri dari :

- 1. Perangkat Keras (*Hardware*) yang digunakan dalam pembuatan aplikasi sebagai berikut :
  - a. Laptop Toshiba C655, *Prosesor : Intel(R) Core (TM) i3, RAM : 4,00 GB*, dan *SSD : 256 GB*
- 2. Perangkat Lunak (*Software*) *Software* yang digunakan dalam perancangan dan pembuatan aplikasi ini sebagai berikut:

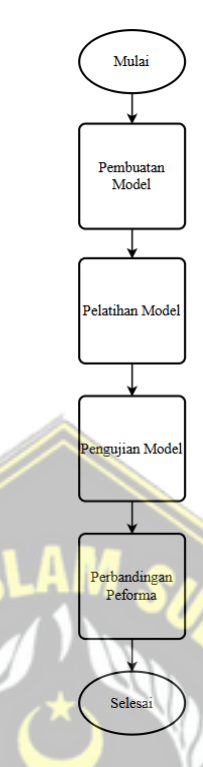
a. OS: Windows 10

b. Bahasa program : Python

c. Compile : Google Colab

d. Perencanaan: Visual Paradigm.

#### 3.6 Flowchart Metode



Gambar 3. 3 Alur flowchart model

Pada gambar 3.3 menunjukkan *flowchart* model dari penelitian yang akan dijalankan oleh peneliti, dimulai dengan pembuatan model, pelatihan model, pengujian model, dan perbandingan peforma.

# 1. Pembuatan model

Pada tahap pembuatan model, model deteksi berbasis *Faster R-CNN* dan *Single Shot Detector* dirancang dan dikembangkan. Proses ini melibatkan pengumpulan *dataset* berupa gambar atau video yang relevan dengan aktivitas merokok, dilanjutkan dengan anotasi dataset untuk menandai area-area yang mengindikasikan aktivitas merokok. Pembuatan model ini bertujuan agar algoritma dapat mengenali objek rokok, asap, dan aktivitas merokok dengan akurasi tinggi.

#### 2. Pelatihan model

Setelah model selesai dirancang, tahap berikutnya adalah melatih algoritma menggunakan *dataset* yang telah disiapkan. Proses pelatihan melibatkan pemberian data *input* kepada algoritma untuk mengajarkan bagaimana mendeteksi pola-pola tertentu yang terkait dengan aktivitas

merokok. Pada tahap ini, berbagai parameter seperti *learning rate*, jumlah *epoch*, dan ukuran *batch* dioptimalkan untuk memastikan algoritma dapat belajar dengan baik. *Faster R-CNN* dan *Single Shot Detector* dilatih secara terpisah untuk membandingkan performanya.

# 3. Pengujian model

Tahap pengujian dilakukan setelah proses pelatihan selesai. Tahap ini, model yang dilatih diuji dengan data uji yang belum dilihat sebelumnya oleh algoritma. Tujuannya adalah untuk mengevaluasi kemampuan model dalam mendeteksi aktivitas merokok di berbagai kondisi, seperti pencahayaan, sudut kamera, dan tingkat keramaian. Hasil pengujian mencakup metrik seperti *accuracy*, *precision*, *recall*, dan *fl-score*.

# 4. Perbandingan peforma

Hasil dari pengujian kedua algoritma dibandingkan untuk menganalisis kelebihan dan kekurangannya masing-masing. Faster R-CNN biasanya lebih unggul dalam hal akurasi deteksi, tetapi memiliki waktu inferensi yang lebih lama karena arsitekturnya yang kompleks. Sebaliknya, SSD (Single Shot MultiBox Detector) dikenal dengan kecepatan deteksinya yang tinggi, meskipun akurasinya mungkin sedikit lebih rendah dibandingkan Faster R-CNN. Analisis ini bertujuan untuk menentukan algoritma yang paling sesuai untuk diterapkan di lingkungan Unissula, terutama untuk mendukung upaya penegakan kebijakan zona larangan merokok.

#### 3.7 Alur Sistem



Gambar 3. 4 Alur sistem

Gambar 3.4 menjelaskan alur kerja sistem yang dimulai dengan tahap inisialisasi proses. Data utama berupa rekaman video aktivitas merokok dilingkungan Unissula digunakan sebagai input sistem. Video tersebut

diproses oleh dua algoritma, yaitu Faster R-CNN dan Single Shot Detection, untuk mendeteksi aktivitas merokok. Hasil deteksi dari kedua algoritma ini kemudian dibandingkan melalui analisis performa yang mencakup accuracy, precision, recall, dan fl-score. Setelah proses analisis selesai, hasil penelitian dirangkum untuk menentukan algoritma yang lebih unggul, dan penelitian pun diakhiri.

#### 3.8 Evaluasi dan analisis

Pada tahapan evaluasi dan analisis, peneliti akan menggunakan beberapa matrik evaluasi seperti *accuracy*, *precision*, *recall*, dan *f1-score*. Untuk rumus dari stiap metrik adalah berikut:

1. Accuracy merupakan proses untuk mengukur seringnya model membuat prediksi benar dibandingkan oleh semua prediksi yang dikerjakan.

$$\frac{TP+TN}{TP+FP+TN+FN} \tag{3}$$

2. *Precision* adalah persentase deteksi positif yang benar (benar terdeteksi sebagai aktivitas merokok) dibandingkan dengan semua deteksi positif.

$$\frac{TP}{TP+FP} \tag{4}$$

3. *Recall* merupakan persentase aktivitas merokok yang berhasil terdeteksi dibandingkan dengan semua aktivitas merokok yang ada dalam *dataset*.

$$\frac{TP}{TP+FN} \tag{5}$$

4. F1-Score adalah metrik yang digunakan untuk mengukur keseimbangan dengan precision dan recall dalam satu nilai. Semakin tinggi nilainya, maka semakin baik performa model secara keseluruhan dalam mendeteksi dan tidak salah deteksi.

$$2 \times \frac{precision \times recall}{precision + recall} \tag{6}$$

#### **BAB IV**

#### HASIL DAN ANALISIS PENELITIAN

#### 4.1 Hasil

Data yang dikumpulkan dalam studi ini terdiri dari 1935 gambar yang diambil dari situs web *Roboflow*, dimana data tersebut dibagi untuk tahap *training*, *validation*, dan *testing*. Data yang didapatkan sudah dilengkapi dengan *bounding box* yang tersimpan dalam *file* berformat .xml dengan kategori "*cigarette*". Gambar 4.1 dan 4.2 menggambarkan kondisi awal dari dataset yang diambil dari Roboflow.



Dalam proses merancang model, kita akan memanfaatkan dataset dengan pembagian 85:15 untuk *training* dan *validation*, yang berarti semua data yang ada akan digabungkan. Data tersebut akan dihimpun dalam satu *folder*, lengkap dengan *subfolder* anotasi yang menyimpan file anotasi serta gambar yang menyimpan seluruh gambar sesuai dengan gambar 4.3 untuk digunakan dalam tahap pengembangan model. Tata letak *folder* ini memiliki peranan yang signifikan dalam menjamin bahwa alur pemrosesan data, proses pelatihan, serta evaluasi model dapat dilakukan dengan lancar tanpa ada kesalahan. Dengan mengorganisir data ke dalam format *folder* yang tertata,

kegiatan *augmentasi*, pembacaan *file*, serta pencocokan gambar dengan anotasi akan berlangsung lebih efisien dan mengurangi kemungkinan kesalahan saat dijalankan dalam kode dan diupload di *Google drive*.



Gambar 4. 3 Folder baru

Pada gambar 4.4 adalah proses pemanggilan dataset yang di-*upload* dari *Google drive* dan proses *unzip* dari dataset yang akan kita gunakan.

```
from google.colab import drive
drive.mount('/content/drive')

Mounted at /content/drive

[ ] !unzip '/content/drive/MyDrive/dataset2.zip'

Archive: /content/drive/MyDrive/dataset2.zip
creating: dataset2/
creating: dataset2/anotasi/@00509_jpg.rf.54f9ca7d2e529acace7d4b7707913caf.xml
inflating: dataset2/anotasi/@00509_jpg.rf.54f9ca7d2e529acace7d4b7707913caf.xml
inflating: dataset2/anotasi/@00509_jpg.rf.2d8b46a314a45be3540502e5622ca4.xml
inflating: dataset2/anotasi/@00509_jpg.rf.2d8b46a314a45be3540502e5622ca4.xml
inflating: dataset2/anotasi/@002129e-a35f-402d-9812-9c46c092*f87c_jpg.rf.1e2e4fcd0dd7fa866b94e38462fa3c71.xml
inflating: dataset2/anotasi/@002129e-a35f-402d-9812-9c46c092*f87c_jpg.rf.62bb2346ad9c9c3892945fa473d89fea.xml
inflating: dataset2/anotasi/@0cd9e6b32374e54lbcedf23lb2947ea_jpg.rf.602f5a3760lf30348e7bd618ce83c451.xml
```

Gambar 4. 4 Pemanggilan dataset dan unzip

Sebelum data dibagi, akan dilakukan pemetaan label yang bertujuan untuk menyederhanakan dan menyamakan berbagai jenis label yang ada di dataset agar lebih konsisten dan mudah diproses oleh model. Dalam proses pembuatan model untuk mendeteksi aktivitas merokok, terdapat label "cigarette" yang mana mewakili satu kategori, yaitu "Merokok" seperti pada gambar 4.5 Label diwakili dengan angka satu karena disini peneliti hanya menggunakan dua class yaitu "Merokok" dan "Tidak merokok" seperti pada gambar 4.6 sehingga selain angka satu di ibaratkan nol alias tidak merokok.

```
# mapping label
label_mapping = {
    "cigarette": 1
}
```

Gambar 4. 5 Label mapping

```
#label 0 is fixed for background
classes=["tidak merokok","merokok"]
num_classes=2
```

Gambar 4. 6 jumlah class pada model

Data tersebut kemudian dilakukan *augmentasi* untuk memperkaya keragaman data menggunakan berbagai transformasi dengan hasil seperti gambar 4.7 dan hasil dari augmentasi tersebut ditunjukan oleh gambar 4.8.

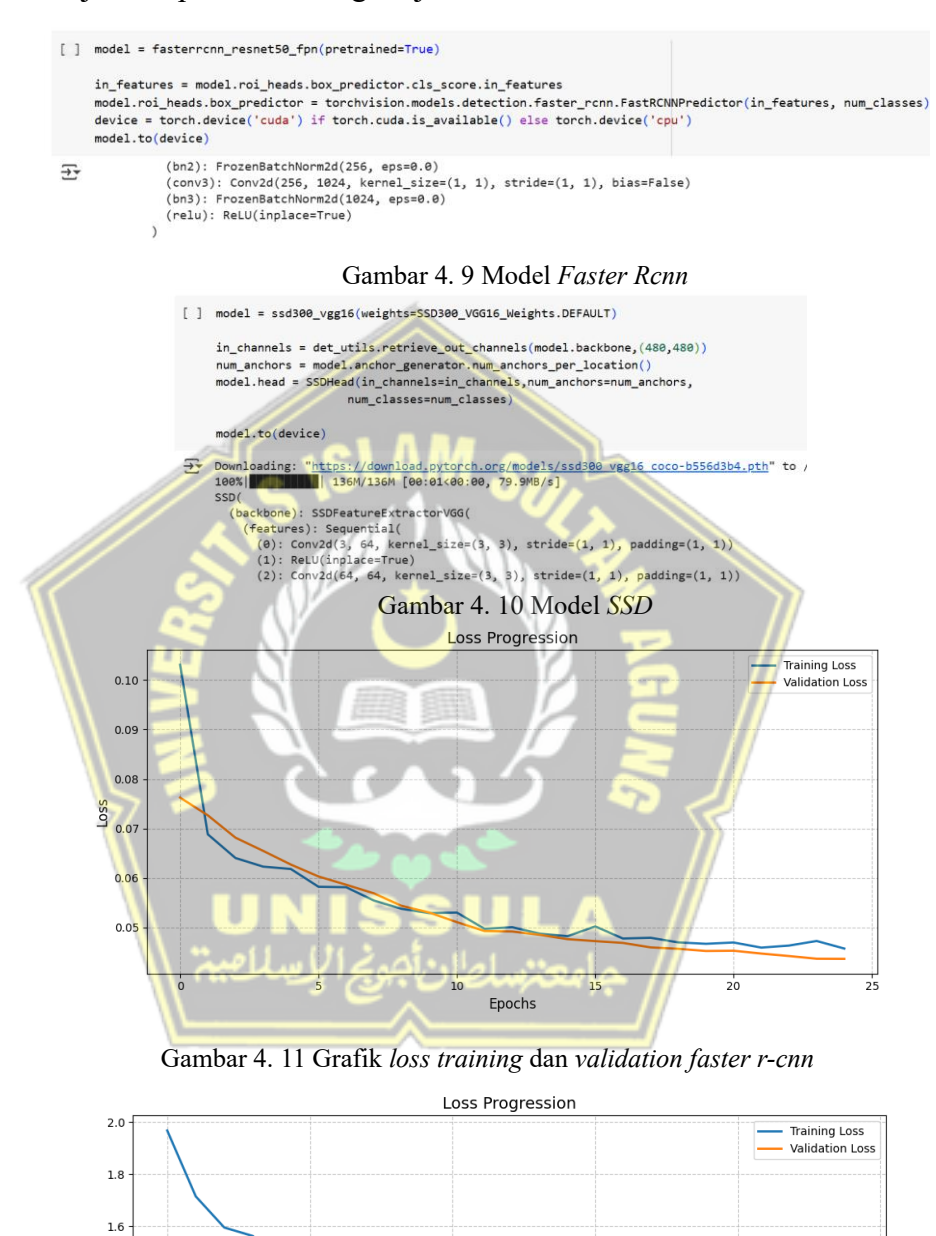


Gambar 4. 8 Hasil augmentasi

Pada gambar 4.9 dan gambar 4.10 merupakan pemanggilan model pretained yang akan digunakan dalam training. Hasil pembuatan model yang dilakukan dengan tahapan training dan validation menggunakan dataset yang menghasilkan grafik loss seperti gambar 4.11. Grafik Loss Progression dari hasil pelatihan model Faster R-CNN menunjukkan penurunan yang konsisten pada training loss dan validation loss seiring bertambahnya jumlah epoch, yang menandakan bahwa model berhasil belajar dan beradaptasi terhadap pola-pola dalam data secara benar. Pada awal pelatihan (epoch ke-0), nilai loss masih cukup tinggi dengan training loss berada di atas 0.10 dan validation loss di sekitar 0.075, namun keduanya secara bertahap mengalami penurunan yang stabil hingga mencapai nilai mendekati 0.045 pada akhir pelatihan di *epoch* ke-24. Hal ini menunjukkan bahwa model mengalami perbaikan dalam meminimalkan kesalahan prediksi baik pada data latih maupun data validasi. Selain itu, grafik ini juga memperlihatkan bahwa tidak terdapat gejala overfitting yang signifikan, karena nilai validation loss tetap berada dalam tren yang sama dengan training loss dan tidak menunjukkan lonjakan atau penyimpangan tajam. Dengan demikian, grafik ini memberikan indikasi kuat bahwa model Faster R-CNN yang digunakan memiliki performa pelatihan yang baik dan generalisasi yang cukup stabil terhadap data validasi.

Begitu juga dengan gambar 4.12. Berdasarkan grafik Loss Progression selama proses pelatihan model Single Shot Detector (SSD), terlihat bahwa nilai training loss dan validation loss secara konsisten mengalami penurunan seiring bertambahnya jumlah epoch, yang menunjukkan bahwa model berhasil belajar dari data pelatihan dan mampu melakukan generalisasi dengan cukup baik terhadap data validasi. Pada awal pelatihan (epoch ke-0), training loss berada di angka sekitar 1.95 dan validation loss di kisaran 1.33, namun keduanya menunjukkan tren penurunan yang stabil hingga mencapai sekitar 0.83 pada akhir pelatihan di epoch ke-24. Tidak terdapat indikasi overfitting yang signifikan, karena validation loss cenderung mengikuti pola penurunan yang serupa dengan training loss dan bahkan menunjukkan nilai yang sedikit lebih rendah pada beberapa epoch, yang mengindikasikan model

tidak hanya mengetahui data pelatihan, tetapi mampu mengetahui pola pada data yang belum pernah dilihat sebelumnya. Secara keseluruhan, grafik ini menunjukkan proses training berjalan baik.



Gambar 4. 12 Grafik loss training dan validation single shot detector

1.2 1.0 0.8 Model kemudian diunduh dalam bentuk .pth dan dilakukan pengujian menggunakan google colab. Adapun cara menjalankannya, pertama memastikan model yang sudah dilatih sebelumnya melalui tahapan proses taining dan validation, serta memanggil file model untuk dijalankan pada kode program sistem deteksi aktivitas merokok. Apabila sudah dipastikan dalam posisi yang sesuai, maka program bisa dijalankan.



Gambar 4. 13 Tampilan mendeteksi rokok dengan model faster r-cnn



Gambar 4. 14 Tampilan mendeteksi rokok dengan model ssd

Gambar 4.9 dan gambar 4.10 menunjukkan hasil pengujian dari sistem deteksi aktivitas merokok yang telah dikembangkan, di mana sistem mampu mengenali keberadaan seseorang yang sedang merokok dengan cukup akurat. Pada tampilan hasil tersebut, rokok yang sedang dipegang oleh seseorang dalam gambar berhasil terdeteksi dan secara otomatis diberi penanda berupa kotak (bounding box) pada area yang mengindikasikan objek rokok. Selain kotak deteksi, output sistem juga menampilkan label berupa tulisan "Merokok" yang menunjukkan klasifikasi objek, serta dilengkapi dengan nilai confidence score yang merepresentasikan tingkat keyakinan model terhadap deteksi tersebut. Nilai confidence score ini berfungsi sebagai indikator sejauh mana model yakin bahwa objek yang terdeteksi memang merupakan rokok, sehingga mendukung validasi hasil deteksi yang ditampilkan pada layar.

#### 4.2 Analisa

Pada model deteksi aktivitas merokok ini dibuat dengan beberapa parameter yang sebelumnya sudah ditentukan nilainya, seperti pada tabel 4.1 berikut:

Tabel 4. 1 Hyperparameter

Parameter	Nilai
Batch Size	2
Epoch	25
Learning Rate	0.00003
Optimizer	SGD

Tabel 4.1 menampilkan konfigurasi hyperparameter yang digunakan dalam proses pelatihan model deteksi aktivitas merokok. Batch size ditetapkan sebesar 2, yang berarti model memproses dua gambar sekaligus dalam satu iterasi selama pelatihan, membantu dalam stabilisasi pembaruan bobot meskipun dengan sumber daya terbatas. Proses pelatihan dilakukan selama 25 epoch, di mana satu epoch merepresentasikan satu kali siklus penuh melalui seluruh dataset pelatihan, memberikan model kesempatan yang cukup untuk belajar dari data. Learning rate yang digunakan adalah sebesar 0.00003, nilai yang kecil ini bertujuan agar proses pembaruan bobot berlangsung secara perlahan dan stabil, sehingga dapat menghindari resiko overshooting atau tidak konvergen. Adapun algoritma optimisasi yang digunakan adalah SGD (Stochastic Gradient Descent), yang merupakan optimizer paling umum digunakan untuk melatih model machine learning dan deep learning, terutama neural network.

Dengan menggunakan parameter dengan nilai tersebut, diperoleh hasil pengujian sebagaimana dalam tabel 4.2 dan tabel 4.4 di bawah ini:

Tabel 4. 2 Hasil pengujian faster r-cnn

No	Hasil	Pred	Act	Conf.		TV	iresho	ld	
110	110311	Trea	Act	Score	0.5	0.6	0.7	0.8	0.9
1	Merotok (0.98)	Merokok	Merokok	0.98	TP	TP	TP	TP	TP
2	Merologis (0.97)	Merokok	Merokok	0.97	TP	TP	TP	TP	TP
3	Laybur (3.3)	Merokok	Merokok	0.98	SHOPY	TP	TP	TP	TP
4	Menic (07)	Merokok	Merokok	0.97	ТР	TP	TP	TP	TP
5	Agrobola (522)	Merokok	Merokok	0.72	TP	TP	TP	FN	FN

6		Merokok	Merokok	0.85	TP	TP	TP	TP	FN
7	Merokok (0.89)	Merokok	Merokok	0.89	TP	TP	ТР	TP	FN
8		Merokok	Merokok	0.82	TP	TP	TP	TP	FN
9	Merokok (	Merokok	Merokok	0.52	SHOW	FN	FN	FN	FN
10	ATI AZI	Merokok	Merokok	0.98	TP	TP	TP	TP	TP
11	Ministric (7.5-1)	Merokok	Merokok	0.51	TP	FN	TN	FN	FN

12	Lend (O.3)	Merokok	Merokok	0.97	ТР	TP	TP	TP	TP
13	Manager (c. 55)	Merokok	Merokok	0.95	TP	TP	TP	TP	TP
14		Merokok	Merokok	0.92	TP	TP	TP	TP	TP
15		Merokok	Merokok	0.85	TP	TP	TP	TP	FN
16	Mercula (0,38)	Merokok	Merokok	0.98	TP	ТР	TP	TP	TP
17		Merokok	Merokok	0.97	TP	TP	TP	TP	TP

18	Manual (0.16)	Merokok	Merokok	0.76	TP	TP	TP	FN	FN
19		Merokok	Merokok	0.97	TP	TP	TP	TP	TP
20	Mercus (0.97)	Merokok	Merokok	0.97	TP	TP	TP	TP	TP
21		Merokok	Merokok	0.96	S/HUBY	TP	TP	TP	TP
22	(Serotok (0.82)	Merokok	Merokok	0.82	TP	TP	TP	TP	FN
23		Merokok	Merokok	0.94	TP	TP	TP	TP	TP

24	Merokok (0.75)	Merokok	Merokok	0.75	TP	TP	TP	FN	FN
25	Managenty (0.55	Merokok	Merokok	0.53	TP	FN	TN	TN	FN
26	The Artistantia	Merokok	Merokok	0.94	TP NGU	TP	TP	TP	TP
27		Merokok	Merokok	0.96 L /4	TP	TP	ТР	ТР	TP
28	Merallica	Merokok	Merokok	0.98	TP	TP	ТР	TP	TP

29	Mergin (O.S.	Merokok	Merokok	0.94	TP	TP	TP	TP	TP
30		Merokok	Merokok	0.95	ТР	TP	ТР	ТР	TP
31	Meroka	Merokok	Merokok	0.93	TP	TP	TP	TP	TP
32		Merokok	Merokok	0.93	TP	TP	ТР	TP	TP
33	223	Merokok	Merokok	0.79	TP	TP	ТР	FN	FN
34	505	Merokok	Merokok	0.78	TP	TP	TP	FN	FN

35	Meroko st. Va	Merokok	Merokok	0.78	TP	TP	ТР	FN	FN
36		Merokok	Merokok	0.97	TP	TP	TP	TP	TP
37	Metrical (0.00)	Merokok	Merokok	0.96	TP NGU	TP	TP	TP	TP
38	Merokok (0.05)	Merokok کے الرسالا	Merokok اصاد أهر	0.98 المعتب	TP	FP	TP	ТР	TP
39	Sicolar (0,71)	Merokok	Merokok	0.71	TP	ТР	ТР	FN	FN

40 Merol	ok Merokok	0.97	ТР	TP	TP	TP	TP
----------	------------	------	----	----	----	----	----

Adapun hasil dari Evaluasi model *faster r-cnn* pengujian yang dilakukan diperoleh hasil berikut:

- 1. Nilai threshold 0.5 membuat sebanyak 40 true positive, 0 false positive, 0 true negative, dan 0 false negative. Maka, diperoleh accuracy 100%, precission 100%, recall 100%, dan f1-score 100%.
- 2. Nilai *threshold 0.6* membuat sebanyak 36 *true positive*, 1 *false positive*, 0 *true negative*, dan 3 *false negative*. Maka, diperoleh nilai *accuracy* 90%, *precission* 97,2%, *recall* 92,3%, dan *f1-score* 94,6%.
- 3. Nilai threshold 0.7 membuat sebanyak 37 true positive, 0 false positive, 0 true negative, dan 3 false negative. Maka, diperoleh nilai accuracy 92,5%, precission 100%, recall 92,5%, dan f1-score 96,1%.
- 4. Nilai threshold 0.8 membuat sebanyak 30 true positive, 0 false positive, 0 true negative, dan 10 false negative. Maka, diperoleh nilai accuracy 72,5%, precission 100%, recall 72,5%, dan f1-score 84,1%.
- 5. Nilai threshold 0.9 membuat sebanyak 25 true positive, 0 false positive, 0 true negative, 15 false negative. Maka, diperoleh nilai accuracy 60%, precission 100%, recall 60%, dan f1-score 75%.

Tabel 4. 3 Hasil evaluasi faster r-cnn

Nilai			Threshold		
TVIIdi	0.5	0.6	0.7	0.8	0.9
True Positive	40	36	37	30	25
False Positive	0	1	0	0	0
True Negative	0	0	0	0	0
False Negative	0	3	3	10	15
Accuracy	1	0.90	0.925	0.725	0.6
Precission		0.972	1	1	1
Recall	1	0.923	0.925	0.725	0.6
F1-Score	el <sup>1</sup> AA	0.946	0.961	0.841	0.75

Berdasarkan tabel 4.3 hasil evaluasi performa model pada berbagai nilai threshold (0.5 hingga 0.9), dapat dilakukan analisis mendalam terhadap performa model dalam mendeteksi. Tabel ini mencakup metrik evaluasi seperti True Positive (TP), False Positive (FP), True Negative (TN), False Negative (FN), Accuracy, Precision, Recall, dan F1-Score. Pada threshold 0.5, model menunjukkan performa sempurna dengan nilai True Positive sebanyak 40, tanpa adanya False Positive maupun False Negative, serta nilai Accuracy, Precision, Recall, dan F1-Score semuanya bernilai 1.0. Ini menunjukkan bahwa pada threshold ini, model mampu mengidentifikasi seluruh data positif dengan sangat baik tanpa melakukan kesalahan prediksi. Namun demikian, tidak adanya True Negative maupun False Positive di semua threshold menunjukkan bahwa data uji mungkin hanya berisi sampel positif, atau model tidak pernah mendeteksi data sebagai negatif, sehingga analisis terhadap performa dalam membedakan kelas negatif tidak dapat dilakukan. Ketika threshold ditingkatkan menjadi 0.6, terlihat adanya penurunan True Positive menjadi 36 dan kemunculan 3 False Negative, yang menyebabkan Recall menurun menjadi 0.923. Meskipun demikian, Precision masih tinggi pada 0.972, dan F1-Score juga relatif tinggi di angka 0.946. Hal ini menunjukkan bahwa meskipun beberapa prediksi positif mulai terlewat

(menjadi FN), sebagian besar prediksi positif masih benar (TP), dan secara keseluruhan performa model masih baik. Pada threshold 0.7, terdapat sedikit peningkatan pada True Positive (menjadi 37), namun False Negative tetap 3, menghasilkan Recall 0.925 dan Precision 1.0. Nilai F1-Score tertinggi dicapai di threshold ini, yaitu 0.961, yang menunjukkan bahwa keseimbangan antara Precision dan Recall sangat baik. Ini bisa menjadi indikasi bahwa threshold 0.7 adalah nilai optimal dalam konteks ini. Ketika threshold dinaikkan lebih tinggi ke 0.8 dan 0.9, performa model semakin menurun. Pada threshold 0.8, True Positive turun drastis menjadi 29, dan False Negative naik menjadi 11. Hal ini menyebabkan Recall turun ke 0.725 dan F1-Score ke 0.841, meskipun Precision masih tetap 1.0. Hal ini menunjukkan bahwa model menjadi terlalu ketat dalam menentukan prediksi positif, sehingga banyak data positif tidak dikenali (FN meningkat). Penurunan lebih lanjut terlihat pada threshold 0.9, dengan hanya 24 True Positive dan 16 False Negative, sehingga Recall menurun signifikan menjadi 0.6 dan F1-Score menjadi hanya 0.75. Secara keseluruhan, analisis ini menunjukkan bahwa nilai threshold sangat mempengaruhi performa model. Threshold rendah seperti 0.5 memberikan performa yang sangat tinggi pada dataset ini, sedangkan threshold tinggi menyebabkan model kehilangan banyak prediksi positif yang benar. Nilai threshold 0.7 dapat dianggap sebagai kompromi terbaik antara *Precision* dan *Recall*, sebagaimana terlihat dari nilai *F1-Score* yang tertinggi.

Tabel 4. 4 Hasil pengujian single shot detector

No	Hasil	Pred	Act	Conf.		Th	iresho	old	
110	114511	1 rea	ACI	Score	0.5	0.6	0.7	0.8	0.9
1	14.0 k (0.53)	Merokok	Merokok	0.33	FN	FN	FN	FN	FN
2	Merokick (0.60)	Merokok	Merokok	0.60	TP	TP	FN	FN	FN
3	Merrico: (1).31	Merokok	Merokok	0.52	TOUN	FN	FN	FN	FN
4	Mercial (C-4)	Merokok	Merokok سلطان		FN	FN	FN	FN	FN
5		Merokok	Merokok	0.30	FN	FN	FN	FN	FN

6	Marones to 19	Merokok	Merokok	0.36	FN	FN	FN	FN	FN
7	aerolok (0.63)	Merokok	Merokok	0.63	TP	TP	FN	FN	FN
8	Merovaj (f.38)	Merokok	Merokok	0.36	FN	FN	FN	FN	FN
9	Merckok (0.68)	Merokok	Merokok	0.68	ТР	ТР	FN	FN	FN
10		Merokok	Merokok	0.64	TP	TP	FN	FN	FN
11	Serioto (USD)	Merokok	Merokok	0.40	FN	FN	FN	FN	FN

12	Neroles (0.53	Merokok	Merokok	0.63	TP	ТР	FN	FN	FN
13	Merotek (0.33)	Merokok	Merokok	0.31	FN	FN	FN	FN	FN
14	Merokol. (6.26)	Merokok	Merokok	0.74	TP	TP	TP	FN	FN
15	Merionar (0.30)	Merokok	Merokok	0.30	FN	FN	FN	FN	FN
16	Merokok (0,36)	Merokok	Merokok	0.38	FN	FN	FN	FN	FN
17	Merskeik (0.34)	Merokok	Merokok	0.31	FN	FN	FN	FN	FN

18	Seption (0.54)	Merokok	Merokok	0.34	FN	FN	FN	FN	FN
19		Merokok	Merokok	0	FN	FN	FN	FN	FN
20	Merokok (0,60)	Merokok	Merokok	0.60	TP	TP	FN	FN	FN
21	Mrokak (0,50)	Merokok	Merokok	0.60	TP	ТР	FN	FN	FN
22		Merokok	Merokok	0.62	ТР	ТР	FN	FN	FN
23	Control (0.62)	Merokok	Merokok	0.62	TP	TP	FN	FN	FN

24		Merokok	Merokok	0	FN	FN	FN	FN	FN
25	Mankoly (0.30)	Merokok	Merokok	0.30	FN	FN	FN	FN	FN
26	Merokok (0, 72)	Merokok	Merokok	0.72	TP	TP	FN	FN	FN
27		Merokok	Merokok	0	FN	FN	FN	FN	FN
28	Merokok (0.39)	Merokok	Merokok	0.36	FN	FN	FN	FN	FN
29		Merokok	Merokok	0.41	FN	FN	FN	FN	FN

30	Merokol. (0.57)	Merokok	Merokok	0.57	ТР	FN	FN	FN	FN
31		Merokok	Merokok	0	FN	FN	FN	FN	FN
32		Merokok	Merokok	0.31	FN	FN	FN	FN	FN
33		Merokok	Merokok	0.79	TP	ТР	ТР	FN	FN
34	545	Merokok	Merokok	0	FN	FN	FN	FN	FN
35		Merokok	Merokok	0.35	FN	FN	FN	FN	FN

36		Merokok	Merokok	0.49	FN	FN	FN	FN	FN
37	Meroka (Q.65)	Merokok	Merokok	0.89	TP	TP	TP	TP	FN
38	Merokok (0,51)	Merokok	Merokok	0.38	FN	FN	FN	FN	FN
39	Men de la constant de	Merokok	Merokok	0.66	TP	TP	FN	FN	FN
40		Merokok	سلطان Merokok	0.64	TP	TP	FN	FN	FN

Adapun dari hasil pengujian *single shot detector* diperoleh hasil berikut:

- 1. Nilai threshold 0.5 membuat 17 true positive, 0 false positive, 0 true negative, dan 23 false negative. Maka, diperoleh nilai accuracy 42,5%, precission 100%, recall 42,5%, dan f1-score 59,6%.
- 2. Nilai threshold 0.6 membuat 15 true positive, 0 false positive, 0 true negative, dan 25 false negative. Maka, diperoleh nilai accuracy 37,5%, precission 100%, recall 37,5%, dan f1-score 54,5%.
- 3. Nilai threshold 0.7 membuat 3 true positive, 0 false positive, 0 true negative, dan 37 false negative. Maka, diperoleh nilai accuracy 7,5%, precission 100%, recall 7,5%, dan f1-score 13,9%.
- 4. Nilai threshold 0.8 membuat 1 true positive, 0 false positive, 0 true negative, dan 49 false negative. Maka, diperoleh nilai accuracy 2,5%, precission 100%, recall 2,5%, dan f1-score 4,8%.
- 5. Nilai threshold 0.9 membuat 0 true positive, 0 false positive, 0 true negative, 40 false negative. Maka, diperoleh nilai accuracy 0%, precission 0%, recall 0%, dan f1-score 0%.

Tabel 4. 5 Hasil evaluasi single shot detector

Nilai	Threshold							
Mar	0.5	0.6	0.7	0.8	0.9			
True <mark>Po</mark> sitive	ن 17	عا 15	3/	1	0			
False P <mark>ositive</mark>	0	0	0	0	0			
True Negative	0	0	0	0	0			
False Negative	23	25	37	39	40			
Accuracy	0.425	0.375	0.075	0.025	0			
Precission	1	1	1	1	0			
Recall	0.425	0.375	0.075	0.025	0			
F1-Score	0.596	0.545	0.139	0.048	0			

Berdasarkan tabel 4.5 evaluasi performa model pada berbagai nilai threshold (0.5 hingga 0.9), terlihat adanya penurunan signifikan dalam kemampuan model untuk mendeteksi kelas positif seiring meningkatnya nilai threshold. Pada threshold 0.5, model mampu mendeteksi 17 data sebagai True Positive dengan 23 False Negative, tanpa adanya False Positive maupun True Negative. Hal ini menghasilkan Accuracy sebesar 0.425, Precision sempurna (1.0), Recall sebesar 0.425, dan F1-Score sebesar 0.596. Walaupun nilai Precision tetap 1.0 di semua threshold (hingga threshold 0.8), hal ini tidak memberikan gambaran menyeluruh karena tidak disertai dengan peningkatan performa lainnya, seperti Recall atau Accuracy. Nilai Precision yang sempurna justru terjadi karena tidak adanya False Positive, bukan karena kemampuan deteksi model yang benar-benar akurat secara keseluruhan. Ketika threshold dinaikkan menjadi 0.6, jumlah True Positive menurun menjadi 15 dan False Negative meningkat menjadi 25. Hal ini menunjukkan bahwa semakin tinggi threshold, semakin banyak kasus positif yang gagal dikenali oleh model. Akibatnya, *Recall* menurun menjadi 0.375 dan *F1-Score* turun menjadi 0.545. Penurunan performa semakin tajam pada threshold 0.7, di mana True Positive hanya 3, sedangkan False Negative melonjak menjadi 37. Accuracy pun turun drastis menjadi 0.075, Recall tinggal 0.075, dan F1-Score anilok ke angka 0.139. Pada threshold 0.8 dan 0.9, performa model menjadi sangat buruk, dengan hanya 1 True Positive dan kemudian tidak ada sama sekali (*True Positive* = 0 pada threshold 0.9), sementara False Negative mencapai angka maksimal yaitu 40. Ini menyebabkan metrik performa seperti Accuracy, Recall, dan F1-Score turun ke titik terendah, masing-masing menjadi 0.025, 0.025, dan 0.048 pada threshold 0.8, dan semuanya menjadi 0 pada threshold 0.9. Secara umum, hasil ini menunjukkan bahwa model memiliki sensitivitas yang sangat rendah terhadap kelas positif ketika threshold dinaikkan, yang berdampak pada penurunan drastis Recall dan F1-Score. Meskipun Precision tetap tinggi karena tidak adanya False Positive, hal ini menyesatkan karena model sebenarnya gagal dalam mendeteksi sebagian besar data positif. Idealnya, model yang baik harus memiliki

keseimbangan antara Precision dan Recall, namun dalam kasus ini, performa model sangat tidak seimbang, terutama pada threshold di atas 0.6. Threshold optimal tampaknya berada di angka 0.5, meskipun performanya pun belum sepenuhnya baik, karena setengah dari data positif masih terlewat (FN = 23).



## **BAB V**

## KESIMPULAN DAN SARAN

# 5.1 Kesimpulan

Penelitian ini memfokuskan pada perbandingan dua algoritma deteksi objek yang populer, yakni *Faster R-CNN* dan *Single Shot Detector (SSD)*, untuk mengetahui mana yang lebih optimal dalam konteks tersebut. Dataset yang digunakan dalam penelitian ini diperoleh dari *Roboflow*, dengan total 1935 gambar beranotasi aktivitas merokok. Data ini kemudian dibagi menjadi data pelatihan dan validasi dengan rasio 85:15. Proses pelatihan model dilakukan di *Google Colab*, menggunakan *framework deep learning* berbasis *Python*. Setiap model diuji berdasarkan beberapa metrik evaluasi utama, yaitu *accuracy, precision, recall*, dan *f1-score*, untuk memberikan gambaran yang komprehensif terhadap performa deteksi masing-masing algoritma.

Hasil pelatihan menunjukkan bahwa model *Faster R-CNN* memiliki performa yang sangat baik. Pada nilai *threshold* 0.5, model ini mencapai skor sempurna di semua metrik evaluasi, yaitu 100% pada *accuracy, precision, recall*, dan *f1-score*. Bahkan ketika nilai *threshold* ditingkatkan menjadi 0.7, performanya masih tergolong sangat tinggi, dengan *f1-score* mencapai 96,1%. Ini mengindikasikan bahwa *Faster R-CNN* tidak hanya mampu mendeteksi objek rokok secara akurat, tetapi juga konsisten dalam berbagai skenario. Penurunan performa baru terlihat signifikan ketika *threshold* dinaikkan ke 0.8 atau 0.9, yang menandakan bahwa model menjadi terlalu selektif dan mulai kehilangan banyak deteksi positif.

Sebaliknya, *SSD* menunjukkan hasil yang jauh lebih rendah dalam hal akurasi dan konsistensi deteksi. Pada *threshold* 0.5, *SSD* hanya mampu mencapai akurasi sebesar 42,5% dengan *recall* yang sama, meskipun *precision* tetap tinggi (100%) karena tidak ada deteksi positif yang salah (*false positive*). Namun, nilai *recall* yang rendah menunjukkan bahwa model gagal mendeteksi sebagian besar kasus aktivitas merokok yang sebenarnya ada dalam data uji. Kinerja *SSD* semakin menurun drastis ketika *threshold* 

dinaikkan, hingga mencapai akurasi 0% pada *threshold* 0.9. Hal ini menunjukkan bahwa *SSD* sangat sensitif terhadap pengaturan ambang batas dan kurang stabil dalam mendeteksi objek dalam konteks yang kompleks seperti aktivitas merokok.

Perbedaan performa antara kedua model ini dapat dijelaskan dari segi arsitektur. Faster R-CNN memiliki dua tahap dalam proses deteksinya, yakni Region Proposal Network (RPN) untuk menghasilkan kandidat lokasi objek dan klasifikasi akhir. Ini membuatnya lebih teliti dan akurat, meskipun dengan waktu komputasi yang sedikit lebih lama. Sebaliknya, SSD adalah model satu tahap yang lebih cepat karena langsung memprediksi bounding box dan kelas dalam satu proses. Namun, efisiensinya mengorbankan akurasi, terutama pada objek kecil dan kompleks seperti rokok yang mungkin tersembunyi sebagian atau tampak samar di gambar.

Secara keseluruhan, dapat disimpulkan bahwa Faster R-CNN lebih unggul secara signifikan dibandingkan SSD dalam hal mendeteksi aktivitas merokok di lingkungan kampus. Akurasi yang tinggi, konsistensi performa, dan ketahanannya terhadap variasi threshold menjadikan Faster R-CNN pilihan yang lebih cocok untuk diimplementasikan dalam sistem pendeteksian otomatis untuk mendukung kawasan bebas rokok. Sementara itu, meskipun SSD menjanjikan kecepatan, keterbatasannya dalam akurasi membuatnya kurang dapat diandalkan dalam konteks pengawasan kebijakan kampus yang membutuhkan ketelitian.

Sebagai rekomendasi, pengembangan sistem deteksi aktivitas merokok di masa depan dapat mempertimbangkan penggunaan Faster R-CNN sebagai model utama. Namun, optimalisasi dapat dilakukan untuk mempercepat proses inferensi tanpa mengorbankan akurasi, misalnya dengan memanfaatkan perangkat keras yang lebih mumpuni atau mengintegrasikan model dengan teknologi edge computing. Selain itu, pengumpulan dataset yang lebih besar dan beragam, serta pengujian di kondisi pencahayaan dan sudut kamera yang berbeda, juga penting untuk meningkatkan performa model dalam kondisi nyata.

### 5.2 Saran

Untuk pendeteksi rokok dilingkungan kampus yang mengutamakan keakuratan dalam mendeteksi objek positif, disarankan menggunakan Faster R-CNN, terutama pada threshold 0.7 yang menunjukkan performa paling optimal. Selain itu, disarankan untuk mengevaluasi dataset lebih lanjut dengan menambahkan data negatif agar True Negative (TN) dan Accuracy dapat dihitung secara lebih representatif. Apabila kecepatan inferensi menjadi faktor penting, SSD dapat dipertimbangkan dengan modifikasi arsitektur atau pelatihan lanjutan (fine-tuning) agar sensitivitas terhadap objek positif meningkat. Namun secara umum, prioritas tetap sebaiknya diberikan kepada model dengan keseimbangan metrik yang baik untuk hasil yang lebih andal. Untuk pengembangan ke depan, disarankan untuk mengeksplorasi penggunaan backbone lain guna meningkatkan akurasi sekaligus efisiensi komputasi. Selain itu, penambahan variasi data latih. Penggunaan teknik augmentasi data yang lebih beragam juga penting untuk memperkuat kemampuan generalisasi model. Evaluasi model sebaiknya diperluas dengan menggunakan dataset yang lebih banyak dan lengkap. Dengan menerapkan rekomendasi-rekomendasi tersebut, diharapkan sistem pendeteksi ini bisa terus diperbaiki kinerjanya dan memberikan keuntungan yang besar bagi masyarakat, terutama dalam mengurangi jumlah pelanggaran terkait aktivitas merokok di tempat-tempat yang dilarang.

## DAFTAR PUSTAKA

- Apendi, Siroojuddin, Casi Setianingsih, Marisa W. Paryasto, Sistem Deteksi, Bahasa Isyarat, Deep Learning, Real Time, A. Bahasa Isyarat, B. Sistem Isyarat, and Bahasa Indonesia. 2023. "Deteksi Bahasa Isyarat Sistem Isyarat Bahasa Indonesia Menggunakan Metode Single Shot Multibox Detector." 10(1):249–55.
- Audina, Mela Tri, Fitri Utaminingrum, and Dahnial Syauqi. 2021. "Sistem Deteksi Dan Klasifikasi Jenis Kendaraan Berbasis Citra Dengan Menggunakan Metode Faster-RCNN Pada Raspberry Pi 4B." *Jurnal Pengembangan Teknologi Informasi Dan Ilmu Komputer* 5(2):814–19.
- Charli, Fino, Hadi Syaputra, Muhammad Akbar, Siti Sauda, and Febriyanti Panjaitan. 2020. "Implementasi Metode Faster Region Convolutional Neural Network (Faster R-CNN) Untuk Pengenalan Jenis Burung Lovebird." *Journal of Information Technology Ampera* 1(3):185–97. doi: 10.51519/journalita.volume1.isssue3.year2020.page185-197.
- Cheng, Lu, Yicai Ji, Chao Li, Xiaojun Liu, and Guangyou Fang. 2022. "Improved SSD Network for Fast Concealed Object Detection and Recognition in Passive Terahertz Security Images." *Scientific Reports* 1–16. doi: 10.1038/s41598-022-16208-0.
- Fikri, Fidra Irfan, and Casi Setianingsih. 2023. "Sistem Pendeteksi Sapi Pada Peternakan Dengan Citra Dan Video UAV Menggunakan Metode Single Shot Detector." 10(5):4600–4607.
- Indaryanto, Faizal, Anan Nugroho, and Alfa Faridh Suni. 2021. "Aplikasi Penghitung Jarak Dan Jumlah Orang Berbasis YOLO Sebagai Protokol Kesehatan Covid-19." *Edu Komputika Journal* 8(1):31–38. doi: 10.15294/edukomputika.v8i1.47837.
- Juweha. 2019. "Pengaruh Larangan Merokok Terhadap Kepatuhan Mahasiswa Untuk Tidak Merokok Di Areal Kampus Universitas Muhammadiyah Mataram." *Journal of Chemical Information and Modeling* 53(9):1–58.
- Muhdar, Grace Tedy Tulak, Bangu, Rosmiati, Iis Afrianty. 2022. "Edukasi Dampak

- Rokok Terhadap Kesehatan Remaja Di Kabupaten Kolaka." 33(1):1–12.
- Mulyana, Dadang Iskandar, and Muhammad Zikri. 2022. "Optimasi Mendeteksi Klasifikasi Citra Digital Logo Mobil Indonesia Dengan Metode Single Shot Multibox Detector." 13(2):88–94.
- PARDEDE, JASMAN, and HENDRI HARDIANSAH. 2022. "Deteksi Objek Kereta Api Menggunakan Metode Faster R-CNN Dengan Arsitektur VGG 16." *MIND Journal* 7(1):21–36. doi: 10.26760/mindjournal.v7i1.21-36.
- Poetro, Bagus Satrio Waluyo, Sri Mulyono, and Vani Aulia Pramesti. 2024. "Prediksi Penyakit Batu Ginjal Dengan Menerapkan Convolutional Neural Network." 153–62.
- Pradana, Ivandi Christiani, Eko Mulyanto, and Reza Fuad Rachmadi. 2022. "Deteksi Senjata Genggam Menggunakan Faster R-CNN Inception V2." *Jurnal Teknik ITS* 11(2). doi: 10.12962/j23373539.v11i2.86587.
- Puspitasari, Fifin Ayu, and Hotma Pangaribuan. 2025. "DETEKSI KALORI PADA CITRA MAKANAN DENGAN ALGORITMA SINGLE SHOT MULTIBOX DETECTOR." 02.
- Putri, Sherien Trisnawaty Eka, and Achmad Fahrurozi. 2022. "Pendeteksian Objek Pada Citra Hewan Karnivora Dan Herbivora Menggunakan Faster R-Cnn." 

  Jurnal Ilmiah Informatika Komputer 27(1):32–42. doi: 10.35760/ik.2022.v27i1.5858.
- Ramadhani, Tivany, Usna Aulia, and Winda Amelia Putri. 2023. "Bahaya Merokok Pada Remaja." *Jurnal Ilmiah Kedokteran Dan Kesehatan* 3(1):185–95. doi: 10.55606/klinik.v3i1.2285.
- Ramadhanu, Agung, Raja Ayu Mahessya, Muhammad Raihan Zaky, Mokti Isra, Sistem Informasi, and Universitas Putra Indonesia YPTK Padang. 2023. "Penerapan Teknologi Machine Learning Dengan Metode Vader Pada Aplikasi Sentimen Tamu Di Hotel Dymens." *JOISIE Journal Of Information System And Informatics Engineering* 7(1):165–73.
- Samratul Fuady, Nehru, and Gina Anggraeni. 2020. "Deteksi Objek Menggunakan Metode Single Shot Multibox Detector Pada Alat Bantu Tongkat Tunanetra Berbasis Kamera." 3(2):39–43. doi: 10.33087/jepca.v3i2.38.

Sudarto, Sudarto. 2020. "Budaya Akademik Islami Di Universitas Islam Sultan Agung Semarang Dalam Perspektif Islamisasi Ilmu." *Ta'dibuna: Jurnal Pendidikan Islam* 9(2):267. doi: 10.32832/tadibuna.v9i2.3526.

Sutisna, Tori, Agung Rachmat Raharja, Eko Hariyadi, and Vito Hafizh Cahaya Putra. 2024. "Penggunaan Computer Vision Untuk Menghitung Jumlah Kendaraan Dengan Menggunakan Metode SSD (Single Shoot Detector)." INNOVATIVE: Journal Of Social Science Research 4:6060–67.

UNISSULA. 2024. Sultan Agung (Unissula). Vol. 6583584.

